

ВЛИЯНИЕ СЛУЧАЙНЫХ НЕОДНОРОДНОСТЕЙ АТМОСФЕРЫ НА ТОЧНОСТЬ ФАЗОВЫХ СИСТЕМ

Получено выражение для дисперсии угловых ошибок фазового пеленгатора в зависимости от статистических характеристик поля падающей волны (дисперсии и радиуса корреляции фазовых флуктуаций) и геометрии пеленгатора (размеров антенн и их разнеса). Приведены графики, позволяющие оценить величину ошибки при заданной статистике поля и размерах пеленгатора. Показано, что наибольшая ошибка имеет место при «точечных» антеннах.

Как известно, в фазовых системах угловая координата цели θ определяется по разности фаз сигналов $\Delta\varphi$, принятых двумя разнесенными антеннами (рис. 1):

$$\sin \theta = \frac{\Delta\varphi}{kd}, \quad (1)$$

где $k = \frac{2\pi}{\lambda}$ — волновое число;

d — база.

Выражение (1) можно рассматривать как градуировочное соотношение фазового пеленгатора. При наличии флуктуаций фазы поля в падающей волне, обусловленных неоднородностями атмосферы, разность фаз сигналов $\Delta\varphi$ от цели, находящейся на направлении, нормальном к базе, оказывается не равной нулю. В соответствии с соотношением (1) величина $\Delta\varphi$ определяет ошибку $\Delta\theta$ в определении угловых координат.

Представляет интерес найти величину ошибки $\Delta\theta$ в зависимости от статистических характеристик падающей волны (дисперсии α и радиуса корреляции ρ фазовых флюктуаций) и параметров пеленгатора (величины базы d и размера антенн h). Для малых («точечных») антенн задача решается элементарно.

Действительно, учитывая, что в этом случае

$$\overline{(\Delta\varphi)^2} = \overline{(\varphi_1 - \varphi_2)^2} = 2\alpha[1 - r(d)],$$

где r — коэффициент корреляции фазовых флюктуаций, и по-

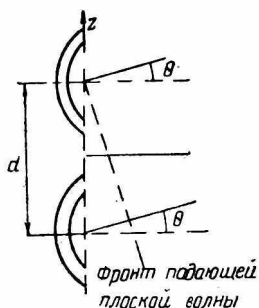


Рис. 1.

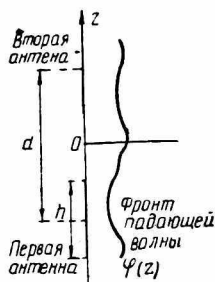


Рис. 2.

лагая флюктуации фазы малыми, находим сразу дисперсию ошибок:

$$\overline{(\Delta\theta)^2} = \frac{2\alpha[1 - r(d)]}{k^2 d^2}. \quad (2)$$

Если $d \ll \rho$, то

$$r(d) \cong 1 + r''(0) \frac{d^2}{2},$$

$$\overline{(\Delta\theta)^2} = - \frac{\alpha r''(0)}{k^2}. \quad (3)$$

Более сложными оказываются расчеты в общем случае — при необходимости учета конечных размеров антенн. Это исследование и составляет содержание настоящей статьи.

Рассматривается фазовый пеленгатор, состоящий из двух линейных антенн длиной h . Центры этих антенн разнесены на расстояние d . На систему падает волна, прошедшая неоднородную атмосферу (рис. 2). Фазовый фронт волны описывается случайной функцией $\varphi(z)$. Флюктуации амплитуды в падающей волне для простоты анализа учитывать не будем. Амплитудное

* Для реальных случайных процессов $r'(0) = 0$.

распределение примем равномерным. Тогда сигналы на выходе первой и второй антенн

$$R_1 e^{i\varphi_1} = \int_{-\frac{L}{2}}^{-\frac{d-L}{2}} e^{i\varphi(z)} dz, \quad R_2 e^{i\varphi_2} = \int_{\frac{d-L}{2}}^{\frac{L}{2}} e^{i\varphi(z)} dz.$$

($L=d+h$).

Перейдем к новой переменной $x = \frac{2z}{L}$

При этом

$$R_1 e^{i\varphi_1} = \frac{L}{2} \int_{-1}^{-a} e^{i\varphi(x)} dx, \quad R_2 e^{i\varphi_2} = \frac{L}{2} \int_a^1 e^{i\varphi(x)} dx,$$

где

$$a = \frac{d-h}{L} = \frac{d-h}{d+h}.$$

Полагая фазовые флуктуации малыми, находим

$$\varphi_1 = \frac{\int_{-1}^{-a} \varphi(x) dx}{1-a}, \quad \varphi_2 = \frac{\int_a^1 \varphi(x) dx}{1-a}$$

и соответственно

$$\Delta\varphi = \varphi_2 - \varphi_1 = \frac{\int_a^1 \varphi(x) dx - \int_{-1}^{-a} \varphi(x) dx}{1-a}.$$

Дисперсия разности фаз

$$(\Delta\varphi)^2 = \frac{2\alpha}{(1-a)^2} \left[\int_a^1 \int_{-1}^{-a} r dx dx_1 - \int_{-1}^{-a} \int_a^1 r dx dx_1 \right]. \quad (4)$$

Входящие в соотношение (4) интегралы вычислены в приложениях. При этом коэффициент корреляции $r = \frac{\varphi(x)\varphi(x_1)}{\alpha}$ вы-

бран в гауссовой форме: $r = e^{-\frac{(x-x_1)^2}{c^2}}$, где $c = \frac{2\rho}{L}$ — радиус корреляции в относительных единицах.

Подставляя приведенные в приложении выражения в (4) и используя далее соотношение (1), получаем окончательно следующее выражение для дисперсии угловой ошибки:

$$\begin{aligned} \overline{(\Delta\theta)^2} &= \frac{(\Delta\varphi)^2}{k^2 d^2} = \frac{1}{k^2 d^2} \frac{2\alpha}{(1-a)^2} \left\{ \sqrt{\pi} C (1-a) \Phi\left(\frac{1-a}{c}\right) - c^2 \times \right. \\ &\times \left[1 - e^{-\frac{(1-a)^2}{c^2}} \right] - \sqrt{\pi} c \left[\Phi\left(\frac{2}{c}\right) - \Phi\left(\frac{1+a}{c}\right) \right] - \sqrt{\pi} a c \left[\Phi\left(\frac{2a}{c}\right) - \right. \\ &\left. \left. - \Phi\left(\frac{1-a}{c}\right) \right] - \frac{c^2}{2} \left[e^{-\frac{4a^2}{c^2}} + e^{-\frac{4}{c^2}} \right] + c^2 e^{-\frac{(1+a)^2}{c^2}} \right\}. \quad (5) \end{aligned}$$

Величину ошибки удобно нормировать к значению ее, соответствующему «точечным» антеннам. Используя соотношения (5) и (2), получаем

$$\frac{(\overline{\Delta\theta})^2}{(\Delta\theta)_{h=0}^2} = \frac{1}{(1-a)^2 \left[1 - e^{-\frac{(1+a)^2}{c^2}} \right]} \left\{ \sqrt{\pi c} (1-a) \Phi\left(\frac{1-a}{c}\right) - \right. \\ \left. - c^2 \left[1 - e^{-\frac{(1-a)^2}{c^2}} \right] - \sqrt{\pi c} \left[\Phi\left(\frac{2}{c}\right) - \Phi\left(\frac{1+a}{c}\right) \right] - \sqrt{\pi a c} \left[\Phi\left(\frac{2a}{c}\right) - \right. \right. \\ \left. \left. - \Phi\left(\frac{1+a}{c}\right) \right] - \frac{c^2}{2} \left[e^{-\frac{4a^2}{c^2}} + e^{-\frac{4}{c^2}} \right] + c^2 e^{-\frac{(1+a)^2}{c^2}} \right\} = \eta(a, c). \quad (6)$$

Коэффициент $\eta(a, c)$ характеризует влияние конечных раз-

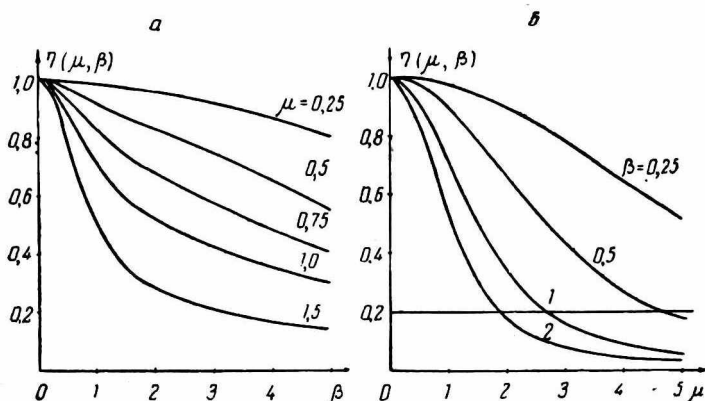


Рис. 3.

меров антенн пеленгатора на величину ошибки. Иногда удобнее вместо безразмерных параметров a и c использовать параметры

$$\mu = \frac{h^*}{d} \quad \text{и} \quad \beta = \frac{d}{r}.$$

Замечая, что

$$c = \frac{2}{\beta(1+\mu)} \quad \text{и} \quad a = \frac{1-\mu}{1+\mu},$$

получаем из (6)

$$\eta(a, c) = \eta(\mu, \beta) = \frac{1}{1 - e^{-\beta^2}} \left\{ \frac{\sqrt{\pi}}{\mu\beta} \Phi(\mu, \beta) - \frac{1 - e^{-\mu^2\beta^2}}{\mu^2\beta^2} - \right.$$

* Обычно $h \leq d$ (т. е. $\mu \leq 1$), однако возможны системы, у которых $d < h$ ($\mu > 1$).

$$-\frac{\sqrt{\pi}(1+\mu)}{2\mu^2\beta} \left[\Phi[\beta(1+\mu)] - \Phi(\beta) \right] - \frac{\sqrt{\pi}(1-\mu)}{2\mu^2\beta} \left[\Phi[\beta(1-\mu)] - \Phi(\beta) \right] - \frac{1}{2\mu^2\beta^2} \left[e^{-\beta^2(1-\mu)^2} + e^{-\beta^2(1+\mu)^2} \right] + \frac{1}{\mu^2\beta^2} e^{-\beta^2} \}. \quad (7)$$

Рассмотрим некоторые частные случаи.

Если $h \rightarrow 0$, то величина $a \rightarrow 1$, а $\mu \rightarrow 0$. При этом величина $\eta(a, c) = \eta(\mu, \beta) \rightarrow 1$.

Если $\rho \gg L$, то $c \gg 1$ и $\beta \ll 1$. При этом $\eta \rightarrow 1$.

Если $\rho \ll L$, то $c \ll 1$; $\mu\beta \gg 1$ и $\eta \rightarrow 0$.

В общем случае необходимо рассчитать η по формулам (6) или (7).

Результаты расчета этой величины для ряда значений μ и β приведены на рис. 3. Как видно из рисунка, $\eta < 1$. Максимальная ошибка соответствует случаю «точечных» антенн. При увеличении антенн пеленгатора ошибка уменьшается.

ПРИЛОЖЕНИЕ 1

Расчет интеграла
$$\int_a^1 e^{-\frac{(x-x_1)^2}{c^2}} dx dx_1$$

$$y = \frac{2}{1-a} \left[x - \frac{a+1}{2} \right], \quad y_1 = \frac{2}{1-a} \left[x_1 - \frac{a+1}{2} \right].$$

При этом

$$\begin{aligned} \iint_a^1 e^{-\frac{(x-x_1)^2}{c^2}} dx dx_1 &= \left(\frac{1-a}{2} \right)^2 \iint_{-1}^1 e^{-\left(\frac{1-a}{2c} \right)^2 (y-y_1)^2} dy dy_1 = \\ &= \left(\frac{1-a}{2} \right)^2 I(c_1, 0, 0), \end{aligned}$$

где $c_1 = \frac{2c}{1-a}$, $I(c_1, 0, 0) = \iint_{-1}^1 e^{-\frac{(y-y_1)^2}{c_1^2}} dy dy_1$,

вычисленный и протабулированный в работе [1]* интеграл

$$I(c_1, 0, 0) = 2\sqrt{\pi} c_1 \Phi\left(\frac{2}{c_1}\right) - c_1^2 \left[1 - e^{-\frac{4}{c_1^2}} \right].$$

* Шифрин Я. С. Вопросы статистической теории антенн. М., «Сов. радио», 1970, с. 382.

Учитывая, что $c_1 = \frac{2c}{1-a}$, окончательно получаем

$$\int_a^1 \int_a^1 e^{-\frac{(x-x_1)^2}{c^2}} dx dx_1 = \sqrt{\pi} c (1-a) \Phi\left(\frac{1-a}{c}\right) - c^2 \left[1 - e^{-\frac{(1-a)^2}{c^2}} \right].$$

ПРИЛОЖЕНИЕ 2

Расчет интеграла $\int_{-1}^{-a} \int_a^1 e^{-\frac{(x-x_1)^2}{c^2}} dx dx_1$

Переходя от x и x_1 к новым переменным $x, -x_1$ и далее к переменным $x, y = \frac{x+x_1}{2}$, получаем

$$\begin{aligned} \int_{-1}^{-a} \int_a^1 e^{-\frac{(x-x_1)^2}{c^2}} dx dx_1 &= \int_a^1 \int_a^1 e^{-\frac{(x-x_1)^2}{c^2}} dx dx_1 = c \int_a^1 dx \int_{\frac{x+a}{c}}^{\frac{x+1}{c}} e^{-y^2} dy = \\ &= \frac{c\sqrt{\pi}}{2} \int_a^1 \left[\Phi\left(\frac{x+1}{c}\right) - \Phi\left(\frac{x+a}{c}\right) \right] dx = I_1' - I_1''. \end{aligned}$$

Рассмотрим интеграл вида $I_1 = \int_a^1 \Phi\left(\frac{x+b}{c}\right) dx$.

Переходя к новой переменной $z = \frac{x+b}{c}$, получаем

$$\begin{aligned} I_1 &= \int_a^1 \Phi\left(\frac{x+b}{c}\right) dx = c \int_{\frac{a+b}{c}}^{\frac{1+b}{c}} \Phi(z) dz = c \left[z\Phi(z) \Big|_{\frac{a+b}{c}}^{\frac{1+b}{c}} - \frac{2}{\sqrt{\pi}} \int_{\frac{a+b}{c}}^{\frac{1+b}{c}} ze^{-z^2} dz \right] = \\ &= c \left\{ \left(\frac{1+b}{c}\right) \Phi\left(\frac{1+b}{c}\right) - \left(\frac{a+b}{c}\right) \Phi\left(\frac{a+b}{c}\right) + \frac{1}{\sqrt{\pi}} \left[e^{-\frac{(1+b)^2}{c^2}} - \right. \right. \\ &\quad \left. \left. - e^{-\frac{(a+b)^2}{c^2}} \right] \right\}. \end{aligned}$$

Используя эти выражения и полагая $b=1$ и $b=a$, находим интегралы I_1' , I_1'' и окончательно для искомого интеграла получаем

$$\int_{-1}^{-a} \int_a^1 e^{-\frac{(x-x_1)^2}{c^2}} dx dx_1 = V\sqrt{\pi} c \left[\Phi\left(\frac{2}{c}\right) - \Phi\left(\frac{1+a}{c}\right) \right] +$$

$$+ V\sqrt{\pi} a c \left[\Phi\left(\frac{2a}{c}\right) - \Phi\left(\frac{1+a}{c}\right) \right] + \frac{c^2}{2} \left[e^{-\frac{4a^2}{c^2}} + e^{-\frac{4}{c^2}} \right] - c^2 e^{-\frac{(1+a)^2}{c^2}}$$